

Einführung in die Computergrafik

## **Kapitel 18: Parametrische Flächen**

Prof. Dr. Matthias Hullin

Institut für Informatik  
Abteilung 2: Visual Computing  
Universität Bonn

10. Juli 2020

Analog zu den parametrischen Kurven kann man parametrische Flächen definieren:

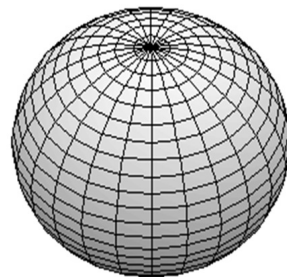
## Definition (Parametrische Fläche)

Eine *parametrische Fläche* ist eine *glatte Abbildung*

$$q : D \rightarrow \mathbb{R}^n$$

eines zweidimensionalen Intervalls  $D \subseteq \mathbb{R}^2$  in den  $\mathbb{R}^n$ . Die Variablen  $(u, v) \mapsto q(u, v)$  heißen *Parameter* der Fläche.

**Beispiel:** Kugel



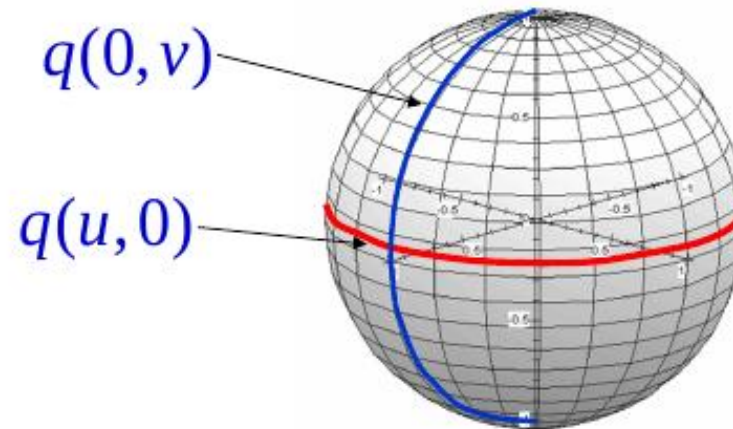
$$q(u, v) = R \cdot \begin{pmatrix} \cos(u) \cdot \cos(v) \\ \sin(u) \cdot \cos(v) \\ \sin(v) \end{pmatrix} \quad (u, v) \in [-\pi, \pi] \times [-\pi/2, \pi/2]$$

Parametrische Flächen bestehen aus parametrischen Kurven:

Die Kurven

- ▶  $p(u) := q(u, v_0)$  für eine beliebiges aber **festes**  $v_0$
  - ▶  $p(v) := q(u_0, v)$  für eine beliebiges aber **festes**  $u_0$
- heißen *Parameterkurven der Fläche*.

**Beispiel:** Kugel



$$q(u, v) = R \cdot \begin{pmatrix} \cos(u) \cdot \cos(v) \\ \sin(u) \cdot \cos(v) \\ \sin(v) \end{pmatrix}$$

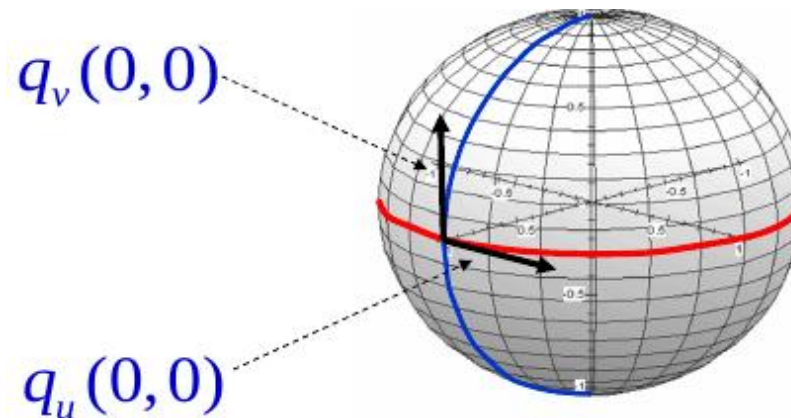
Sowohl die Stetigkeit als auch die Regularität kann analog zu den parametrischen Kurven definiert werden:

## Definition (Differenzierbarkeit von parametrisierten Flächen)

Eine Fläche heißt *n-mal stetig differenzierbar*, falls die Abbildung  $q$   $n$ -mal stetig differenzierbar ist, d.h.  $q$   $n$ -mal stetige partielle Ableitungen besitzt.

Die Vektoren  $q_u(u, v) := \frac{\partial q(u, v)}{\partial u}$  und  $q_v(u, v) := \frac{\partial q(u, v)}{\partial v}$  heißen  $u$ -Tangente bzw.  $v$ -Tangente an der Stelle  $(u, v)$ .

## Beispiel:



## Definition (Regularität von Flächen)

Eine Fläche heißt *regulär*, falls die Abbildung  $q$  einmal stetig differenzierbar ist und die Vektoren  $q_u(u, v)$  und  $q_v(u, v)$  für alle  $(u, v) \in D$  linear unabhängig sind.

Analog zu den Kurven ist insbesondere eine Fläche mit  $q_{\{u|v\}}(u, v) = 0$  nicht regulär.  
Für unsere Kugel:

$$q_u(u, v) = \frac{\partial}{\partial u} R \cdot \begin{pmatrix} \cos(u)\cos(v) \\ \sin(u)\cos(v) \\ \sin(v) \end{pmatrix} = R \cdot \begin{pmatrix} -\sin(u)\cos(v) \\ \cos(u)\cos(v) \\ 0 \end{pmatrix}$$

Am Nord- und Südpol ( $v = \pm\pi/2$ ) ist  $\cos(v) = 0$  und daher  $q_u(u, v) = \mathbf{0}$ . Die Fläche ist dort also irregulär.

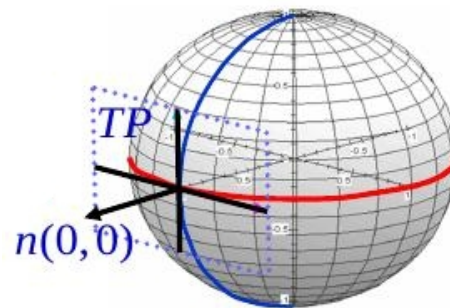
## Definition (Tangentialebene)

Ist  $q : D \rightarrow \mathbb{R}^n$  eine reguläre parametrisierte Fläche, so heißt die von den Vektoren  $q_u(u_0, v_0)$  und  $q_v(u_0, v_0)$  aufgespannte Ebene *Tangentialebene im Punkt*  $q(u_0, v_0)$ .

$$n(u, v) := \frac{q_u(u, v) \times q_v(u, v)}{\|q_u(u, v) \times q_v(u, v)\|_2}$$

heißt dabei *Normalen(einheits)vektor im Punkt*  $q(u_0, v_0)$ . Er steht senkrecht auf der Tangentialebene und ist unabhängig von der Parametrisierung.

## Beispiel:



Wie bei den parametrischen Kurven suchen wir auch hier geeignete Basisfunktionen:

## Definition (Tensorproduktraum)

Sind  $\{F_i^m, i = 0, \dots, m\}$  und  $\{G_j^n, j = 0, \dots, n\}$  Basen zweier Funktionsräume  $R_1$  und  $R_2$  mit reellwertigen univariaten Funktionen über den Intervallen  $I$  bzw.  $J$ , so bilden die bivariaten Funktionen

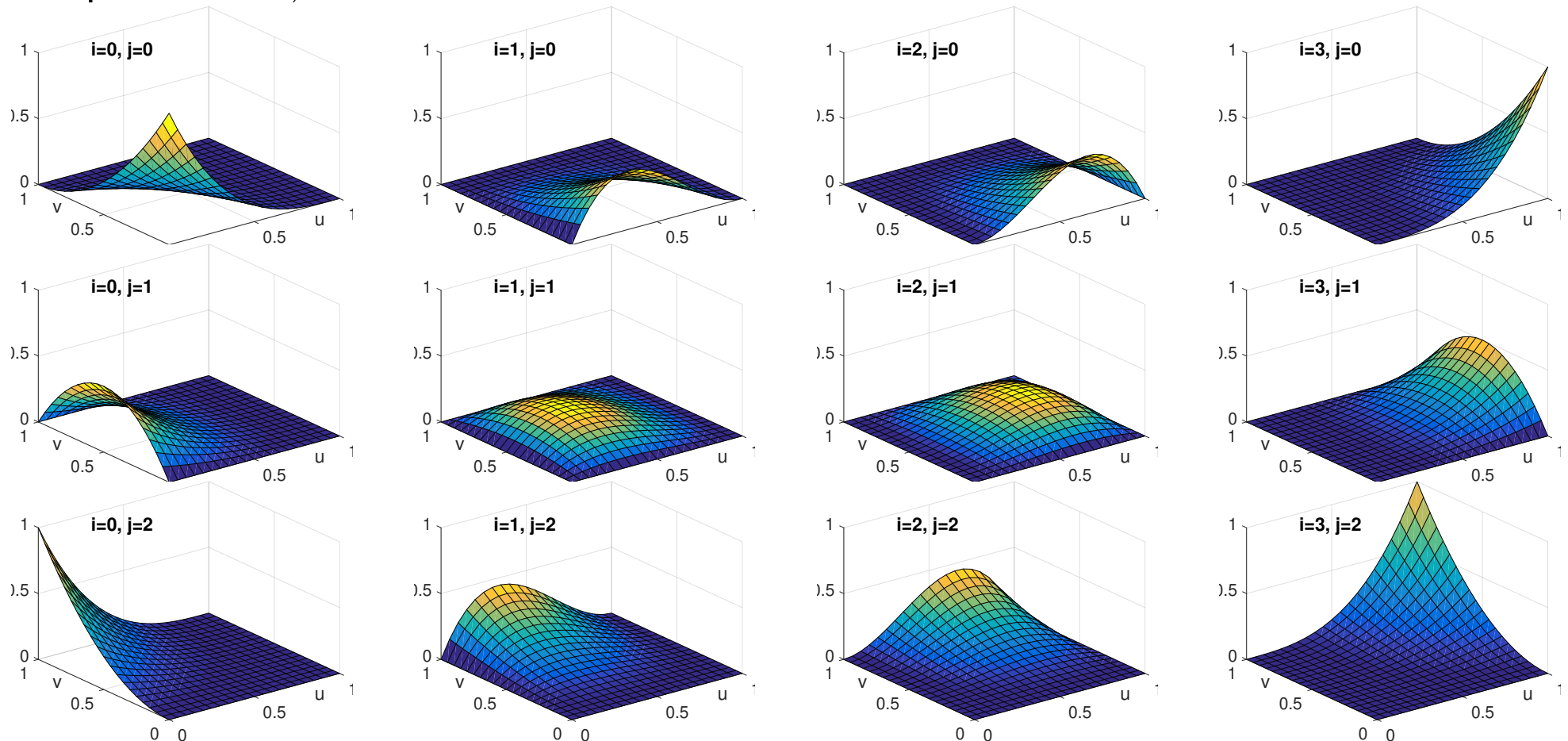
$$F_i^m G_j^n(u, v) := F_i^m(u) \cdot G_j^n(v) \quad i = 0, \dots, m; j = 0, \dots, n \quad (u, v) \in I \times J$$

eine Basis des *Tensorproduktraumes*  $R_1 \otimes R_2$  der Dimension  $(m + 1)(n + 1)$ .

**Beispiel:** Bernsteinpolynome vom Grad  $m$  und  $n$  bilden eine Basis des Tensorproduktraumes  $P^m \otimes P^n$ :

$$B_i^m B_j^n(u, v) := B_i^m(u) \cdot B_j^n(v) \quad i = 0, \dots, m; j = 0, \dots, n$$

Beispiel:  $m = 3, n = 2$





## Definition (Tensorproduktfläche)

Seien  $F_i^m G_j^n(u, v) := F_i^m(u) \cdot G_j^n(v)$ ,  $i = 0, \dots, m; j = 0, \dots, n$ ,  $(u, v) \in I \times J$  eine Basis des Tensorproduktraumes  $R_1 \otimes R_2$  von Funktionen über den Intervallen  $I$  bzw.  $J$  und  $c_{ij} \in \mathbb{R}^d$  Koeffizienten. Dann heißt die bezüglich der Tensorproduktbasis dargestellte Funktion *Tensorproduktfläche*:

$$q(u, v) = \sum_{i=0}^m \sum_{j=0}^n c_{ij} \cdot F_i^m(u) \cdot G_j^n(v)$$

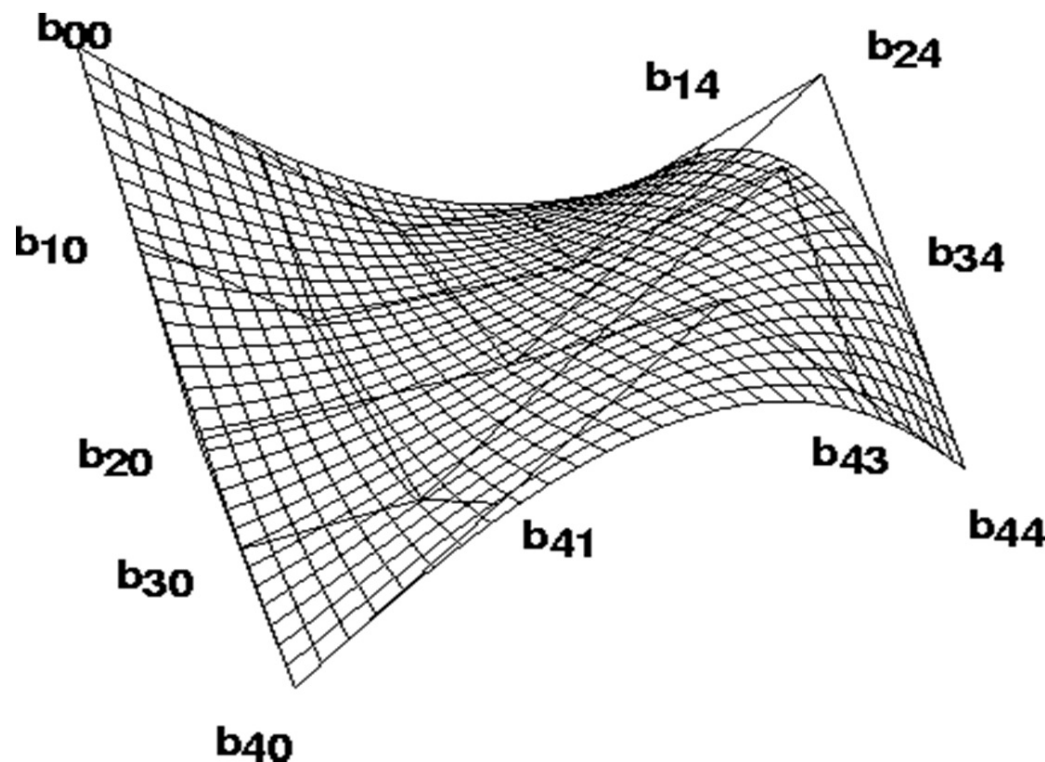
Die Tensorproduktfläche kann auch in Matrixschreibweise geschrieben werden:

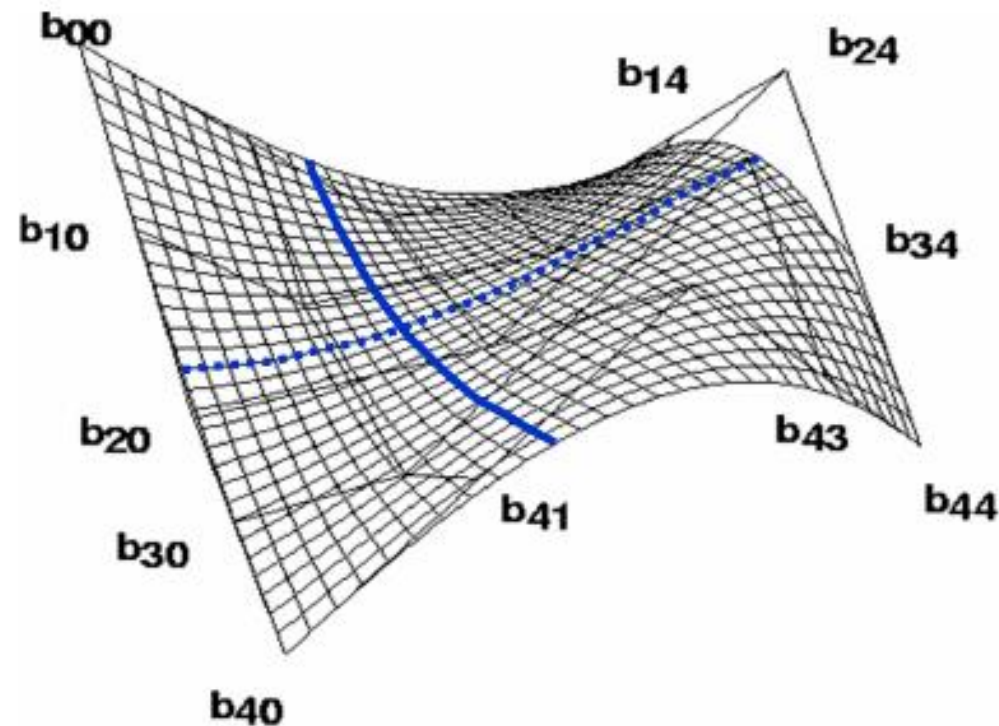
$$q(u, v) = \begin{pmatrix} F_0^m & \dots & F_m^m \end{pmatrix} \cdot \begin{pmatrix} c_{00} & \dots & c_{0n} \\ \vdots & \ddots & \vdots \\ c_{m0} & \dots & c_{mn} \end{pmatrix} \cdot \begin{pmatrix} G_0^n \\ \vdots \\ G_n^n \end{pmatrix}$$

Als Tensorproduktbasis können u. a. die Bernsteinpolynome verwendet werden:

$$q(u, v) = \sum_{i=0}^m \sum_{j=0}^n b_{ij} \cdot B_i^m(u) \cdot B_j^n(v) \quad b_{ij} \in \mathbb{R}^d$$

Dabei sind die  $b_{ij}$  die Bézierpunkte und spannen das Kontrollnetz auf:



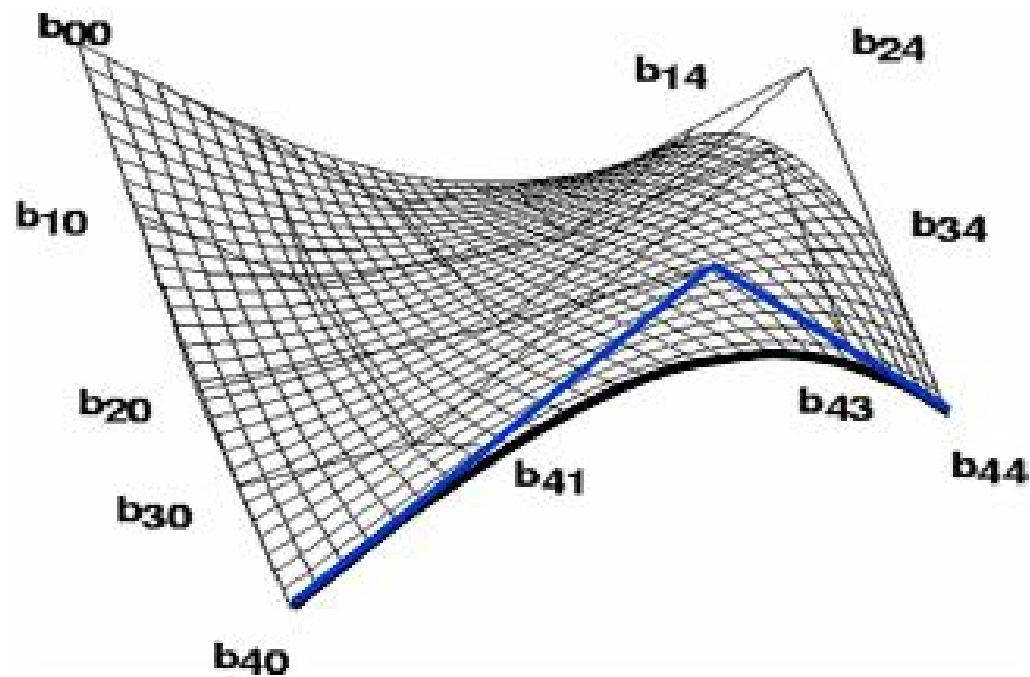


Hält man eine Dimension der Fläche fest, so liefert dies eine Bézierkurve:

$$q(u_0, v) = \sum_{i=0}^m \left( \sum_{j=0}^n b_{ij} \cdot B_i^m(u_0) \right) \cdot B_j^n(v) = \sum_{i=0}^m b_i(u_0) \cdot B_i^n(v)$$

Die Fläche liegt für  $(u, v) \in [0, 1]^2$  in der konvexen Hülle des Kontrollpunktenetzes:

$$\sum_{i=0}^m \underbrace{\left( \sum_{j=0}^n B_i^m(u_0) \right)}_{=1} B_j^n(v) = 1$$



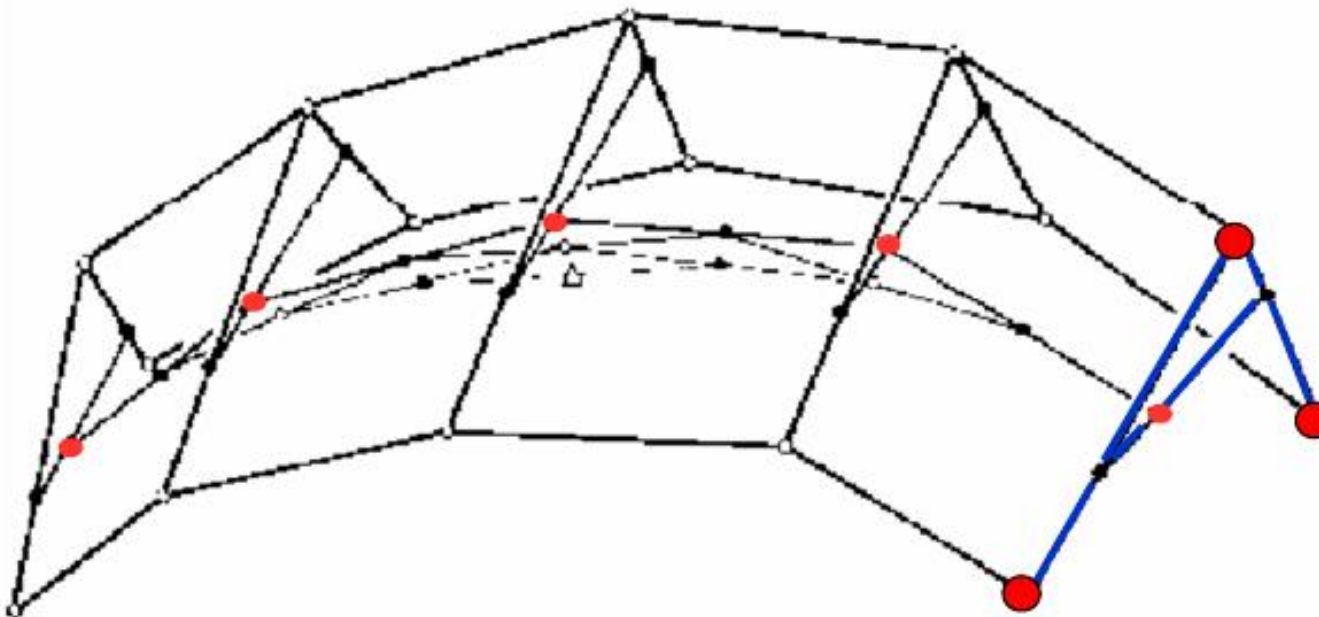
Ein Punkt  $q(U_0, v_0)$  kann durch doppelte Anwendung des Algorithmus von de Casteljau rekursiv berechnet werden:

$$q(u_0, v_0) = \sum_{i=0}^m \underbrace{\left( \sum_{j=0}^n b_{ij} \cdot B_i^m(u_0) \right)}_{\text{mit de Casteljau berechnen}} \cdot B_j^n(v_0) = \sum_{i=0}^m \underbrace{b_i(u_0) \cdot B_i^n(v_0)}_{\text{mit de Casteljau berechnen}}$$

## Ableitungen:

- Analog zu den Bézierkurven liefern die vorletzten Elemente des de Casteljau-Schemas die Richtungen der partiellen Ableitungen  $q_u$  bzw.  $q_v$

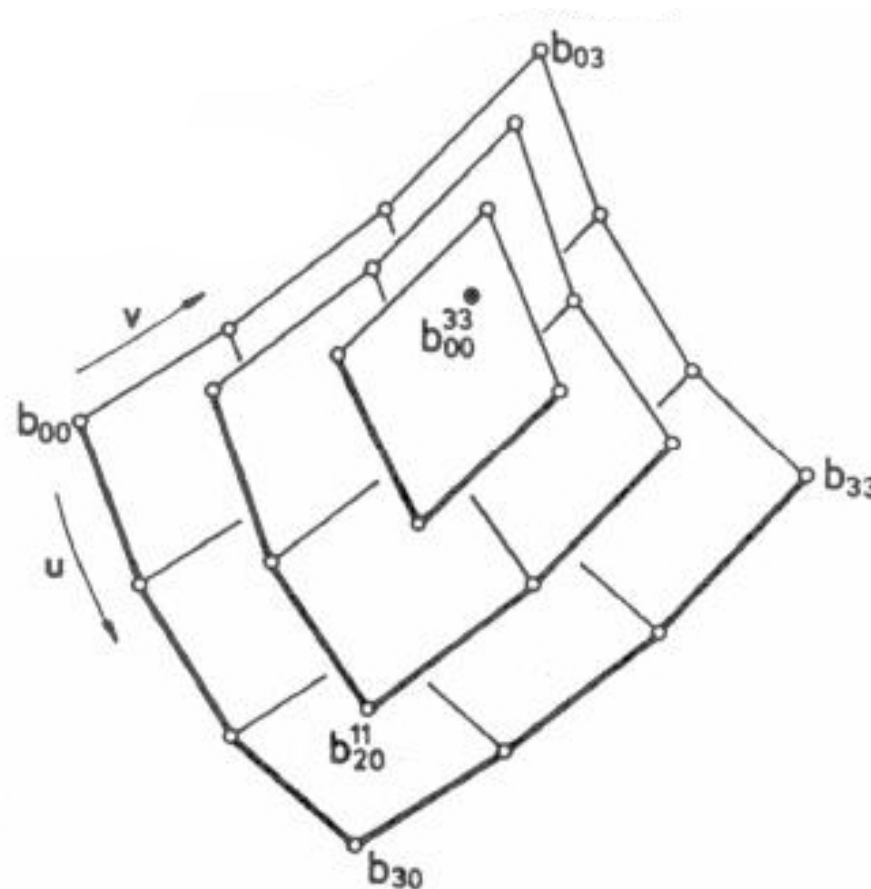
## Beispiel:



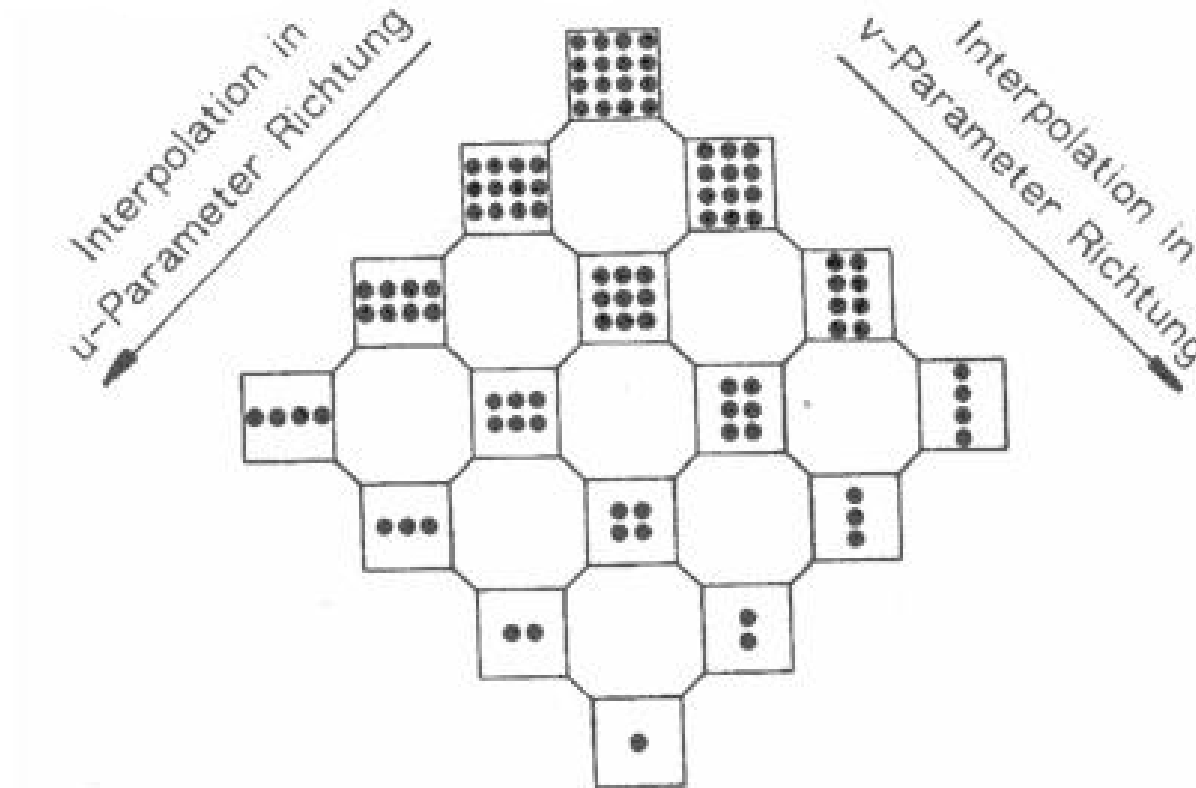
Interpolation erst in  $u$ - und dann in  $v$ -Richtung

Neben der Möglichkeit durch Hintereinanderschaltung einer Interpolation erst in  $u$ - und dann in  $v$ -Richtung besteht auch die Möglichkeit des **abwechselnden Arbeitens** in  $u$ - und  $v$ -Richtung.

## Beispiel:



Somit lässt sich ein Berechnungsbaum aufspannen:



Anzahl der Berechnungsmöglichkeiten:

$$\frac{(m+n)!}{m! \cdot n!}$$



Ähnlich wie bei den Bézierkurven können auch Bézierflächen mit Gewichten versehen werden:

## Definition (Rationale Bézierflächen)

Eine *rationale Bézierfläche* ist definiert durch

$$R(u, v) = \frac{\sum_{i=0}^m \sum_{j=0}^n \tilde{b}_{ij} \cdot B_i^m(u) \cdot B_j^n(v)}{\sum_{i=0}^m \sum_{j=0}^n w_{ij} \cdot B_i^m(u) \cdot B_j^n(v)}$$

mit Gewichten  $w_{ij} \in \mathbb{R}, w_{ij} > 0, w_{n0} = 1 = w_{0m}$ .

## Bemerkung:

- ▶ Wegen  $w_{ij} > 0$  ist der Nenner ungleich Null und  $R$  somit wohldefiniert
- ▶ Wählt man  $w_i = 1 \ \forall i = 0, \dots, n$  ist der Nenner gleich Eins und  $R$  ist eine Bézierfläche

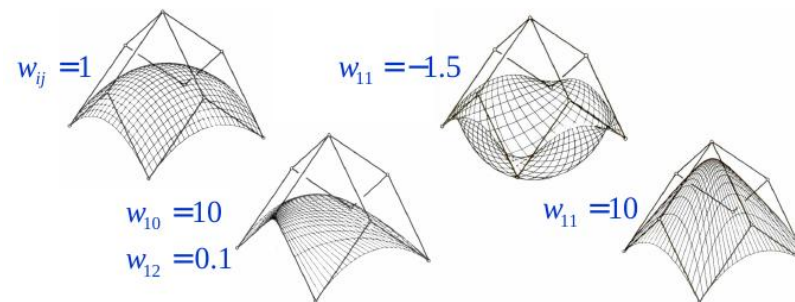
Es ist üblich, die Darstellung als Tensorproduktfläche zu bezeichnen, was aber nicht ganz korrekt ist. Die Basisfunktionen

$$B(u, v) = \frac{w_{ij} \cdot B_i^m(u) \cdot B_j^n(v)}{\sum_{i=0}^m \sum_{j=0}^n w_{ij} \cdot B_i^m(u) \cdot B_j^n(v)}$$

können aufgrund des Nenners in der Regel nicht in zwei Faktoren zerlegt werden!

Die Bezeichnung hat ihre Begründung in der Deutung als Projektion einer Tensorproduktfläche im  $\mathbb{R}^4$ . Daher besitzen auch rationale Bézierflächen viele Eigenschaften von Tensorproduktflächen.

## Beispiele:



Die für rationale Bézierkurven besprochenen Eigenschaften übertragen sich analog zu den Standard Bézier-Tensorproduktflächen auch auf rationale Bézierflächen.

Wie bei Splines können auch Flächen stetig aneinander angeschlossen werden. Dabei gelten nahezu identische Bedingungen:

## Parametrisch stetiger Anschluss ( $C^d$ -stetiger Übergang):

► Seien

$$q_1(u, v) = \sum_{i=0}^m \sum_{j=0}^n b_{ij} \cdot B_i^m(u) \cdot B_j^n(v)$$

$$q_2(u, v) = \sum_{i=0}^m \sum_{j=0}^n a_{ij} \cdot B_i^m(u) \cdot B_j^n(v)$$

zwei stetig-differenzierbare Bézier-Tensorproduktflächen

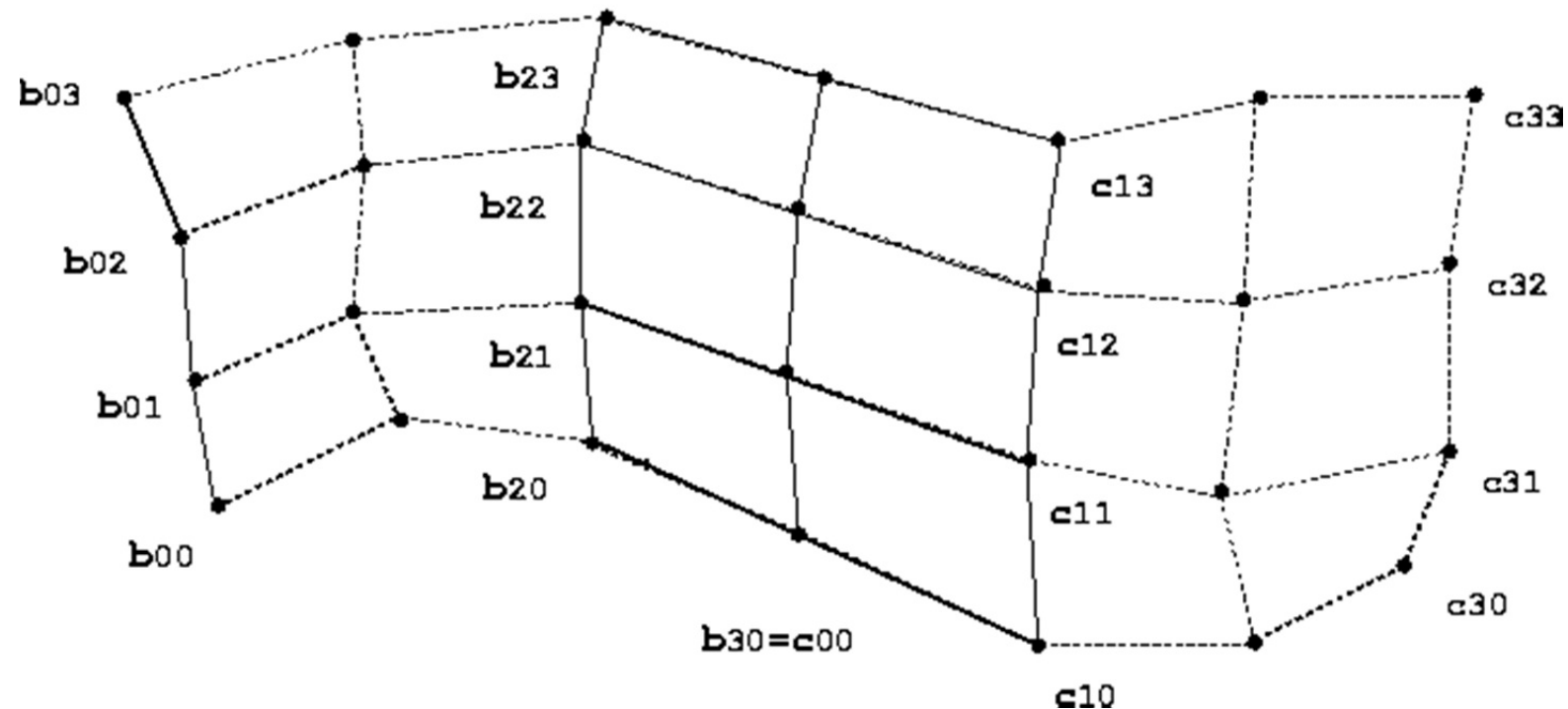
►  $q_1$  und  $q_2$  schließen entlang der Randkurve  $C^n$ -stetig aneinander, falls

$$q_1^{(k)}(b_{mj}) = q_2^{(k)}(a_{0j}) \quad \forall k = 0, \dots, d, \quad \forall j = 0, \dots, n$$

d.h. die Richtungen und die Länge der Ableitungen bis Ordnung  $d$  stimmen überein.

► Dies betrifft auch gemischte Ableitungen, d.h. etwa für  $C^2$  müssen  $\{\partial^2/\partial u^2, \partial^2/\partial v^2, \partial^2/\partial u\partial v\} q_{\{1,2\}}(u, v)$  zwischen den beiden Flächen übereinstimmen.

## Beispiel:



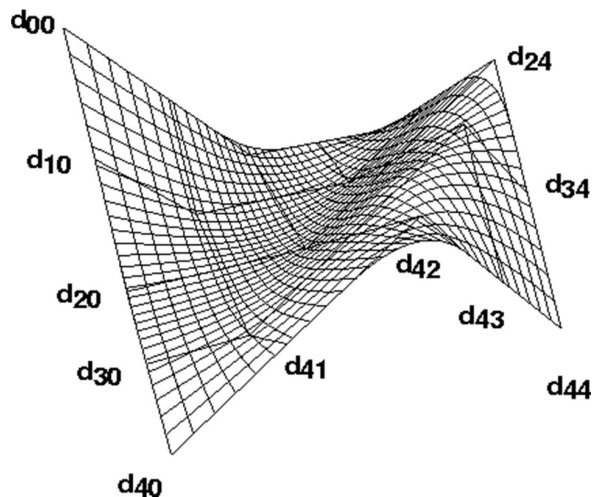
Die Ableitungen lassen sich genauso wie bei den Bézierkurven berechnen.

Auch die Idee der B-Splines kann übernommen werden:

Verwendet die B-Spline-Tensorproduktbasis über  $[s_0, \dots, s_{m+w+1}] \times [t_0, \dots, t_{m+p+1}]$ :

$$q(u, v) = \sum_{i=0}^m \sum_{j=0}^n d_{ij} \cdot N_i^w(u) \cdot M_j^p(v)$$

mit *de Boor-Punkten*  $d_{ij} \in \mathbb{R}^d$  und normalisierten B-Splines  $N_i^n(u)$  und  $M_j^p(v)$ .



## Normalisierte B-Splines (zur Erinnerung)

Sei  $n \leq m$  und  $T = (t_0 = \dots = t_n, t_{n+1}, \dots, t_m, t_{m+1} = \dots = t_{m+n+1})$  eine schwach monoton wachsende Folge von Knoten mit  $t_i < t_{i+n+1}$ ,  $0 \leq i \leq m$ . Die rekursiv definierten Funktionen

$$N_i^0(t) := \begin{cases} 1 & , \text{ falls } t_i \leq t < t_{i+1} \\ 0 & , \text{ sonst} \end{cases}$$

$$N_i^k(t) := \frac{t - t_i}{t_{i+k} - t_i} \cdot N_i^{k-1}(t) + \frac{t_{i+1+k} - t}{t_{i+1+k} - t_{i+1}} \cdot N_{i+1}^{k-1}(t) \quad 1 \leq k \leq n$$

heißen *normalisierte B-Splines* vom Grad  $n$  über  $T$ .

Wie bei Bézier-Tensorproduktflächen übertragen sich die Eigenschaften der Kurven entsprechend auf die B-Spline-Tensorproduktflächen.

## Definition (Non-Uniform Rational B-Spline)

Ein *Non-Uniform Rational B-Spline* ist definiert durch

$$R(u, v) = \sum_{i=0}^n \sum_{j=0}^m R_{i,j}(u, v) P_{i,j}$$

mit Kontrollgitter  $P_{i,j}$  und der rationalen Basisfunktion

$$R_{i,j}(u, v) = \frac{N_{i,p}(u) N_{j,q}(v) w_{i,j}}{\sum_{k=0}^n \sum_{l=0}^m N_{k,p}(u) N_{l,q}(v) w_{k,l}}$$

mit einem Gewicht  $w_{i,j}$  für jeden Kontrollpunkt.

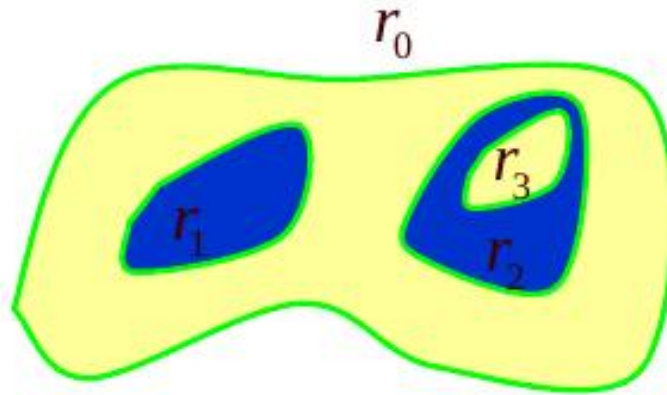
NURBS sind sozusagen das “volle Paket”:

- ▶ non-uniform, d.h. Knoten je Dimension beliebig positionierbar
- ▶ rational, d.h. Kugeln, Ellipsen, Tori, ... darstellbar
- ▶ B-Spline, d.h. lokale Kontrolle über Glattheit; Grad von Komplexität der Fläche entkoppelt.

**Einschränkung:** bisher nur rechteckiges Parametergebiet

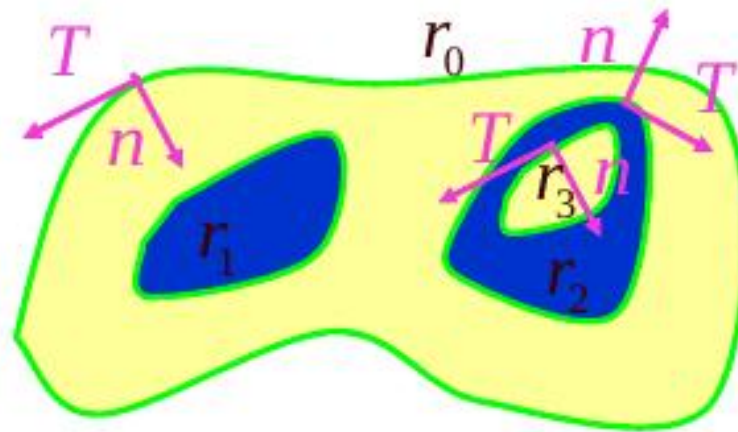
**Lösung:** Definiere getrimmtes ebenes Parametergebiet durch eine Menge von Randkurven:

$$R = \{r_0, \dots, r_n\}$$



Dabei ist  $r_0$  der äußere Rand und  $r_1, \dots, r_n$  sind die inneren Ränder.

Jede Randkurve  $r_i$  besitzt ein Gebiet  $\Omega_i$ . Der positive Normaleneinheitsvektor  $n$  der Randkurve  $r_i$  zeigt stets in das Innere von  $\Omega_i$ :

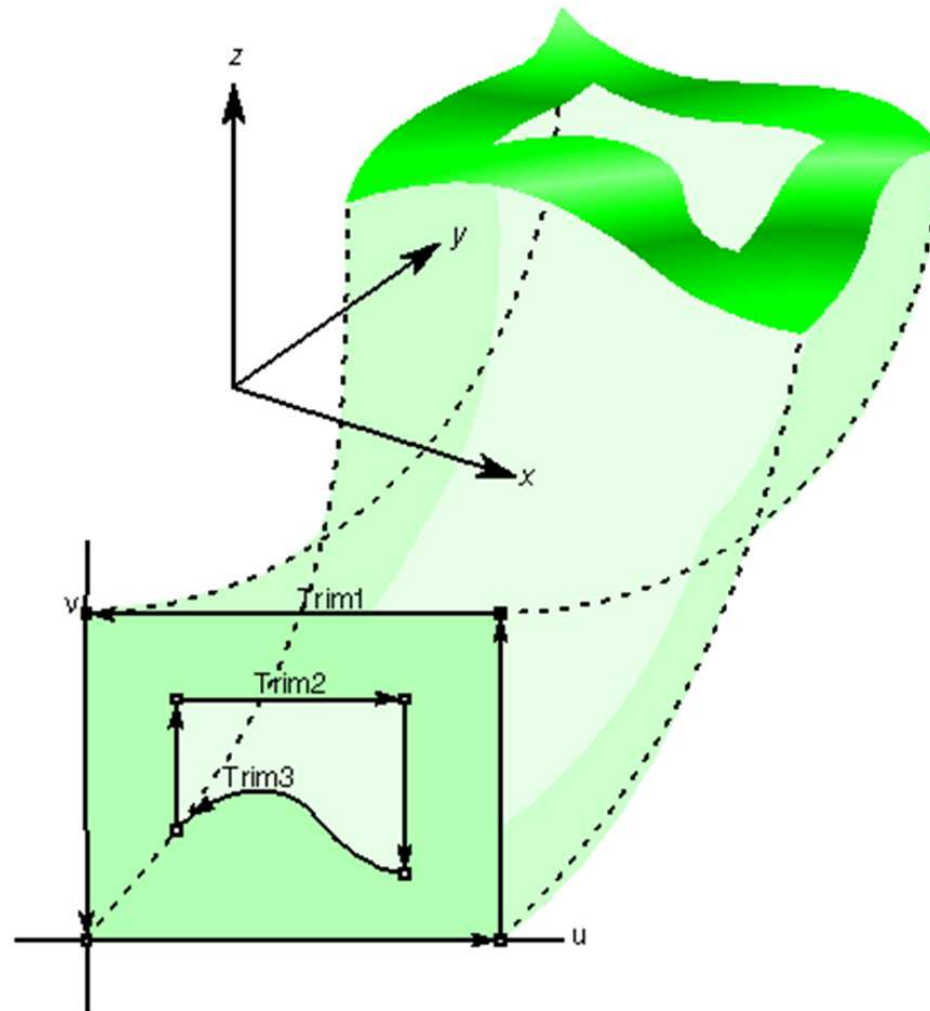


## Bedingungen der Randkurven:

- ▶ jede Randkurve ist geschlossen
- ▶ Randkurven schneiden sich nicht
- ▶ Geschachtelte Randkurven sind konsistent orientiert, d.h. ist  $r_i$  Vater von  $r_j$ , so sind  $r_i$  und  $r_j$  gegenläufig orientiert

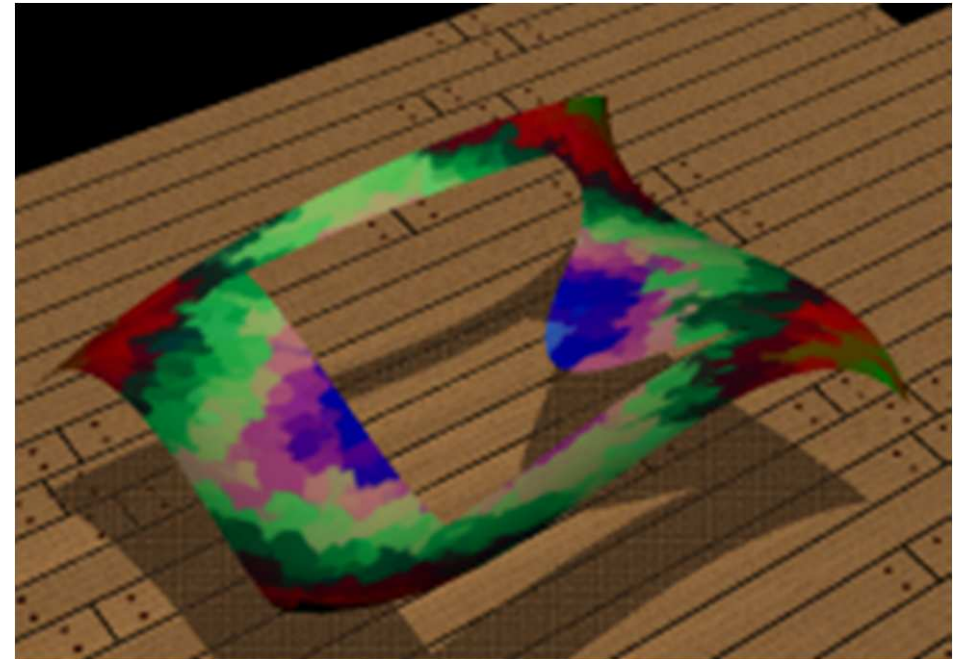


Die Trimming-Kurven im Parametergebiet werden auf die Fläche abgebildet:



Solche Kurven konnten einst auch direkt in OpenGL erzeugt werden  
(letzte auffindbare Erwähnung in einem Referenzhandbuch zu OpenGL 2.1):

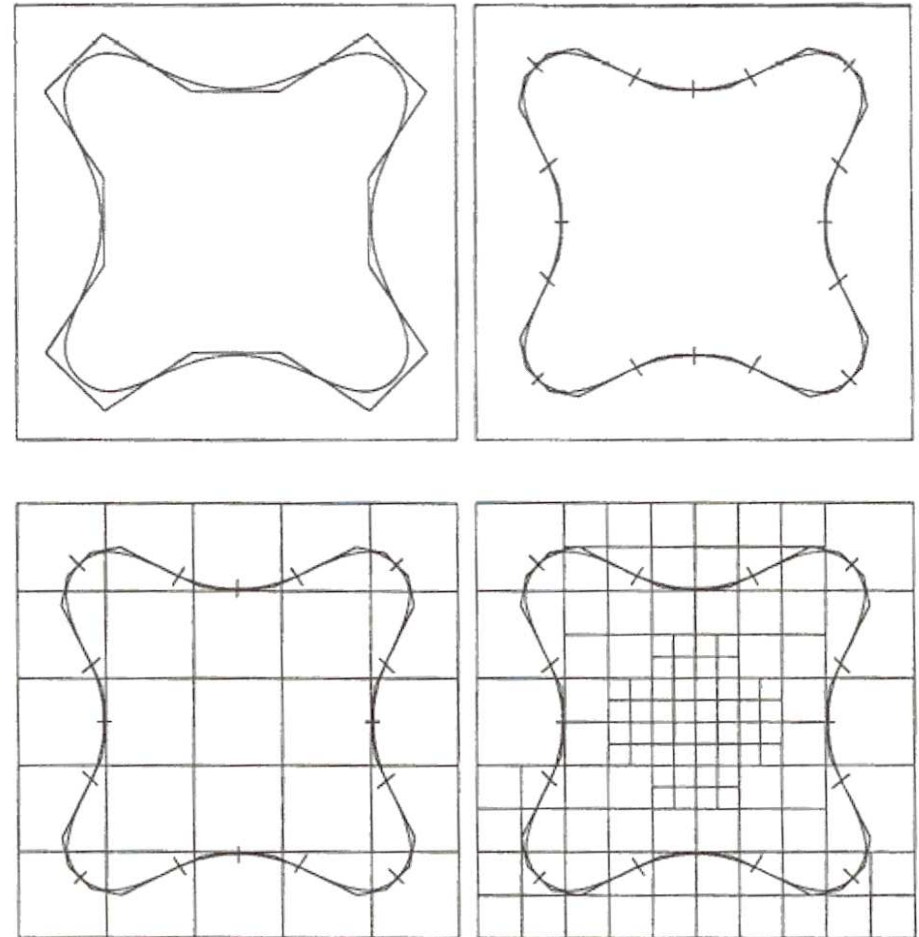
```
1: gluBeginSurface();
2:     gluNurbsSurface(...);
3:     gluBeginTrim();
4:         gluPwlCurve(...);
5:     gluEndTrim();
6:     gluBeginTrim();
7:         gluNurbsCurve(...);
8:     gluEndTrim();
9: glEndSurface();
```



**Problem:** Wie approximiert man die Fläche durch Dreiecke?

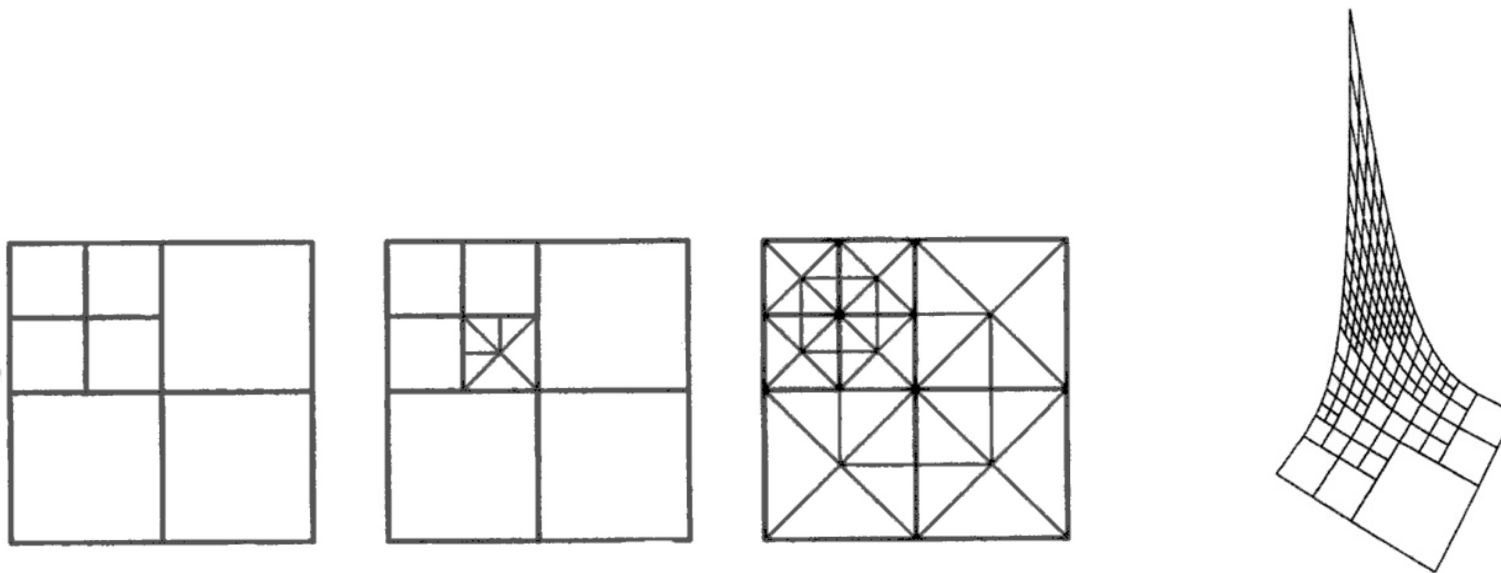
## Übersicht:

- ▶ Konvertierung der NURBS-Trimmingkurven und NURBS-Flächen in Bézierdarstellung
- ▶ Adaptive Unterteilung der Bézierflächen mit kontrolliertem parametrischen Fehler
- ▶ Fehlerkontrollierte Approximation der Trimmingkurven im 3D



## Adaptive Unterteilung der Bézierflächen mit kontrolliertem parametrischen Fehler:

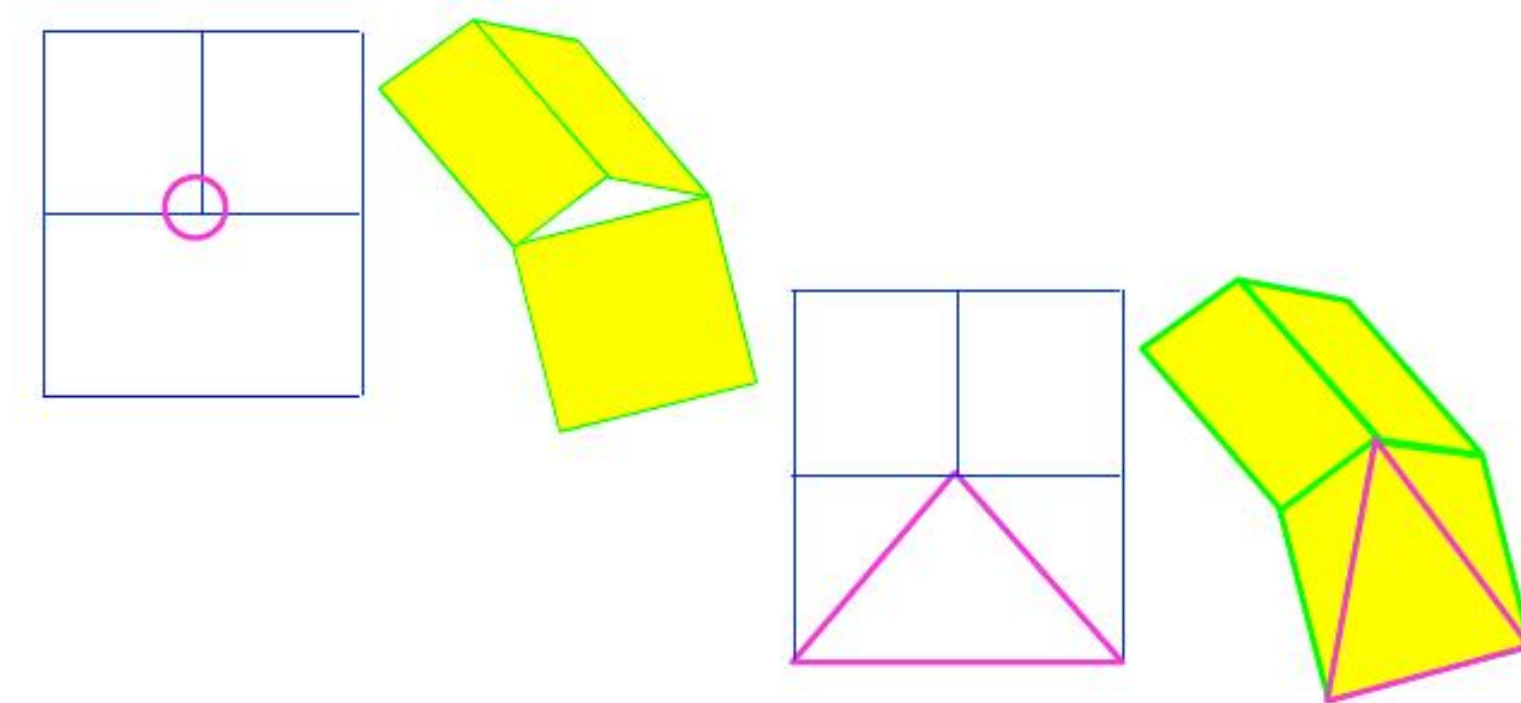
- Zur Unterteilung wird ein eingeschränkter Quadtree erzeugt: Die Unterteilungstiefe benachbarter Zellen unterscheidet sich um nicht mehr als eins



- **Start** : In Bézierflächen konvertierte NURBS-Flächen
- **Triangulierung (Lookup-Tabelle)** : Jede Zelle wird in 4–8 Dreiecke zerlegt. Jede Kante hat 2 Nachbardreiecke, außer die Nachbarzelle ist nicht so oft unterteilt – dann wird nur ein Dreieck erzeugt
- **Rekursion** : Solange der Approximationsfehler größer als ein Schwellwert ist, führe Mittelpunktsunterteilung der Bézierfläche durch

## Adaptive Unterteilung der Bézierflächen mit kontrolliertem parametrischen Fehler:

**Achtung bei Quadrees** : T-Vertices führen zu Artefakten bei der Interpolation und müssen vermieden werden!



## Lemma (Fehlerkontrolliertes Triangulieren (1))

*Wird eine bilineare Interpolationsfläche*

$$q(u, v) = \sum_{i=0}^1 \sum_{j=0}^1 b_{ij} \cdot B_i^1(u) \cdot B_j^1(v)$$

*über  $[0, 1]^2$  durch stückweise lineare Funktionen über den Dreiecken*

$$\Delta((0, 0), (1, 0), (1, 1)) \quad \text{und} \quad \Delta((0, 0), (1, 1), (0, 1))$$

*bzw.*

$$\Delta((0, 0), (1, 0), (0, 1)) \quad \text{und} \quad \Delta((1, 0), (1, 1), (0, 1))$$

*approximiert, so ergibt sich unabhängig von der Wahl der Triangulierung ein Fehler*

$$\epsilon = \frac{1}{4} \|b_{00} - b_{01} + b_{11} - b_{10}\|_2$$

## Lemma (Fehlerkontrolliertes Triangulieren (2))

*Der parametrische Abstand zwischen einer Bézier-Tensorproduktfläche*

$$q(u, v) = \sum_{i=0}^m \sum_{j=0}^n b_{ij} \cdot B_i^m(u) \cdot B_j^n(v)$$

*und einer bilinearen Interpolationsfläche  $g$  der Eckpunkte  $b_{00}, b_{0n}, b_{m0}, b_{mn}$  kann wie folgt abgeschätzt werden:*

$$\sup_{(u,v) \in [0,1]^2} \|q(u, v) - g(u, v)\|_2 \leq \max \|c_{ij}\|_2$$

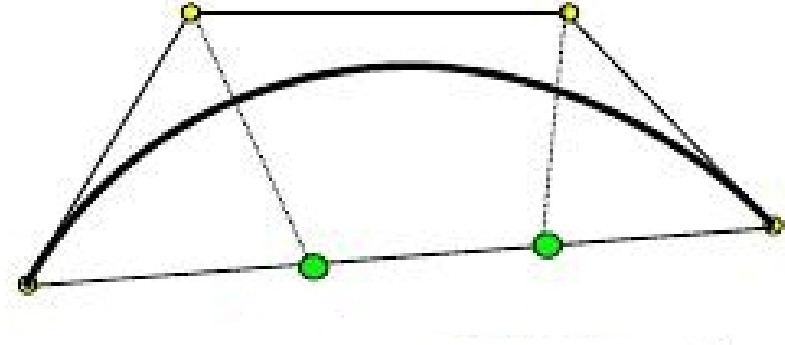
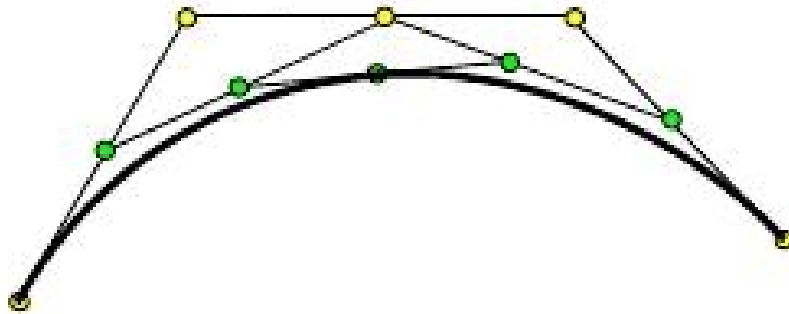
*mit*

$$c_{ij} = b_{ij} - \left( \frac{(m-i)(n-j)}{mn} b_{00} + \frac{(m-i)j}{mn} b_{0n} + \frac{i(n-j)}{mn} b_{m0} + \frac{ij}{mn} b_{mn} \right)$$

## Fehlerkontrollierte Approximation der Trimmingkurven im 3D:

Adaptive Unterteilung einer Bézierkurve:

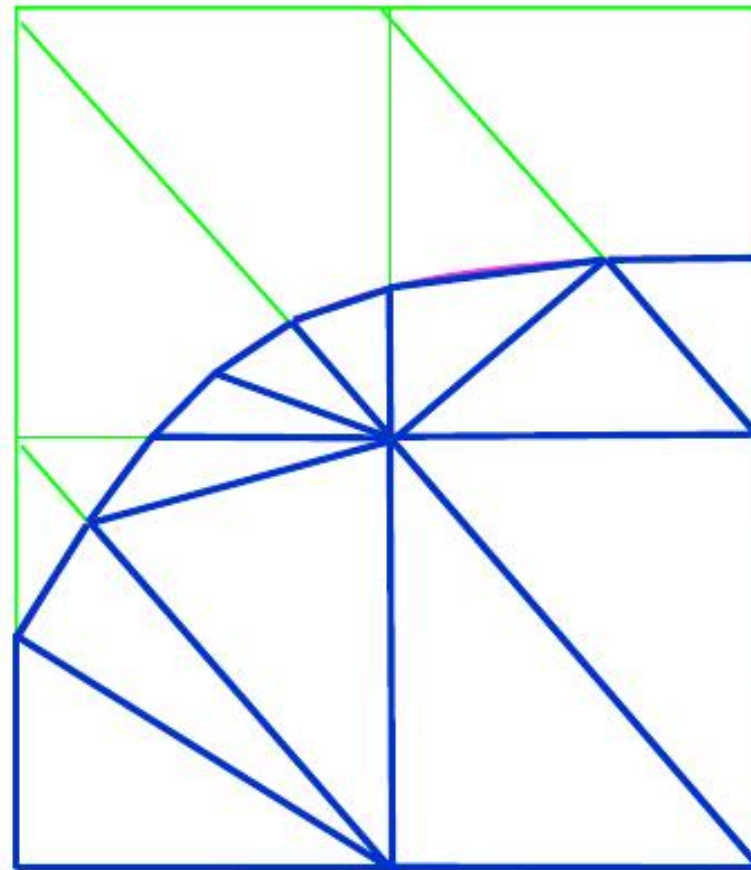
- Mittelpunktsunterteilung mit Algorithmus von de Casteljau



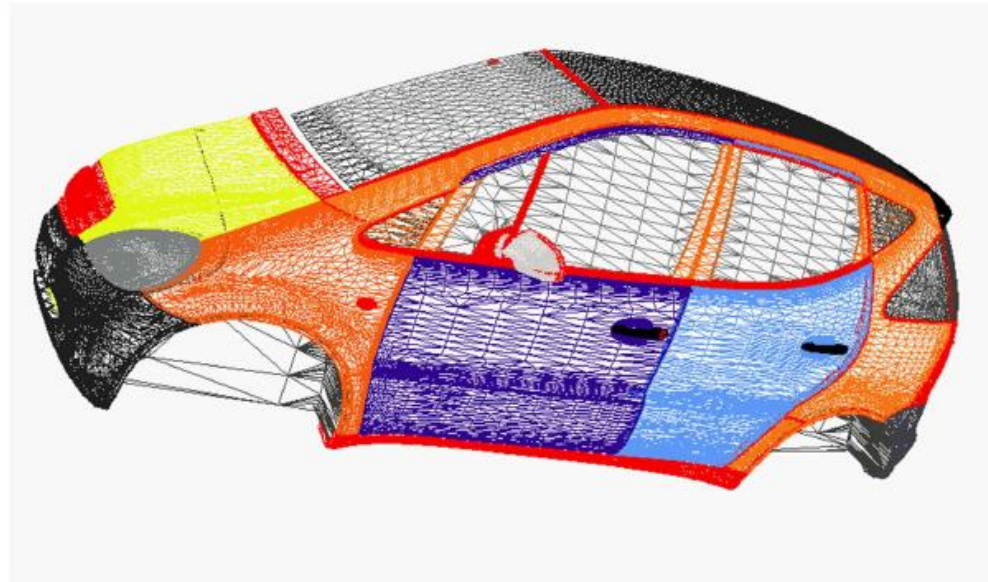


## Einfügen von Trimmingkurven:

Nach der Triangulierung des adaptiven Quadtree werden alle Dreiecke, die von der Trimmingkurve geschnitten werden, entsprechend trianguliert.



## Beispiel:



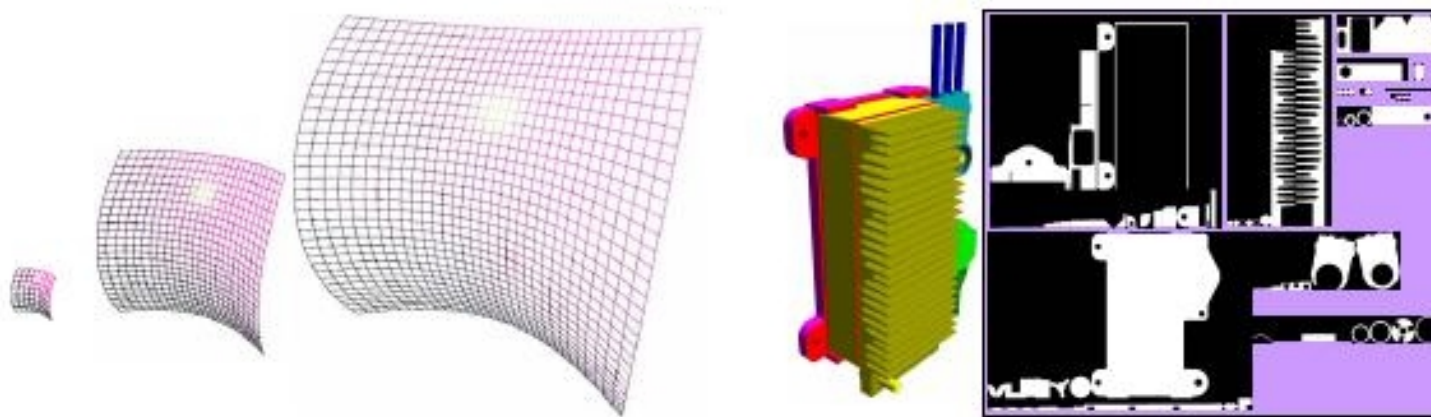
~96.000 Dreiecke

## Fazit:

- + Ergebnis ist ein Dreiecksnetz, das beliebig weiterverarbeitet werden kann
  - Bei zu wenigen Dreiecken werden die Flächen kantig, bei zu vielen steigt die Rechenzeit
  - Triangulierung ist relativ zeitaufwendig, kann also nicht während des Renderings gemacht werden

Um obiges Verfahren hardwarebeschleunigt zu implementieren, werden folgende Grundideen verwendet:

- ▶ Verwende uniformes Gitter statt Quadtree und berechne Flächenpunkte in der Vertexeinheit
- ▶ Rasterisiere die Trimmingkurven in eine Textur und verwende diese für das Trimmen in der Fragmenteinheit



Der Fehler einer Approximation einer Fläche  $q$  durch ein trianguliertes uniformes Gitter  $g$  mit Schrittweiten  $\Delta u$  und  $\Delta v$  ist beschränkt durch:

$$\begin{aligned} \sup_{(a,b) \in [0,1]^2} \|q(a,b) - g(a,b)\|_2 &\leq \frac{1}{8}(\Delta u^2 D_{u^2} + \Delta u \Delta v D_{uv} + \Delta v^2 D_{v^2}) \\ &\leq \underbrace{\frac{1}{8} \Delta u^2 (D_{u^2} + D_{uv})}_{\delta_u} + \underbrace{\frac{1}{8} \Delta v^2 (D_{v^2} + D_{uv})}_{\delta_v} \end{aligned}$$

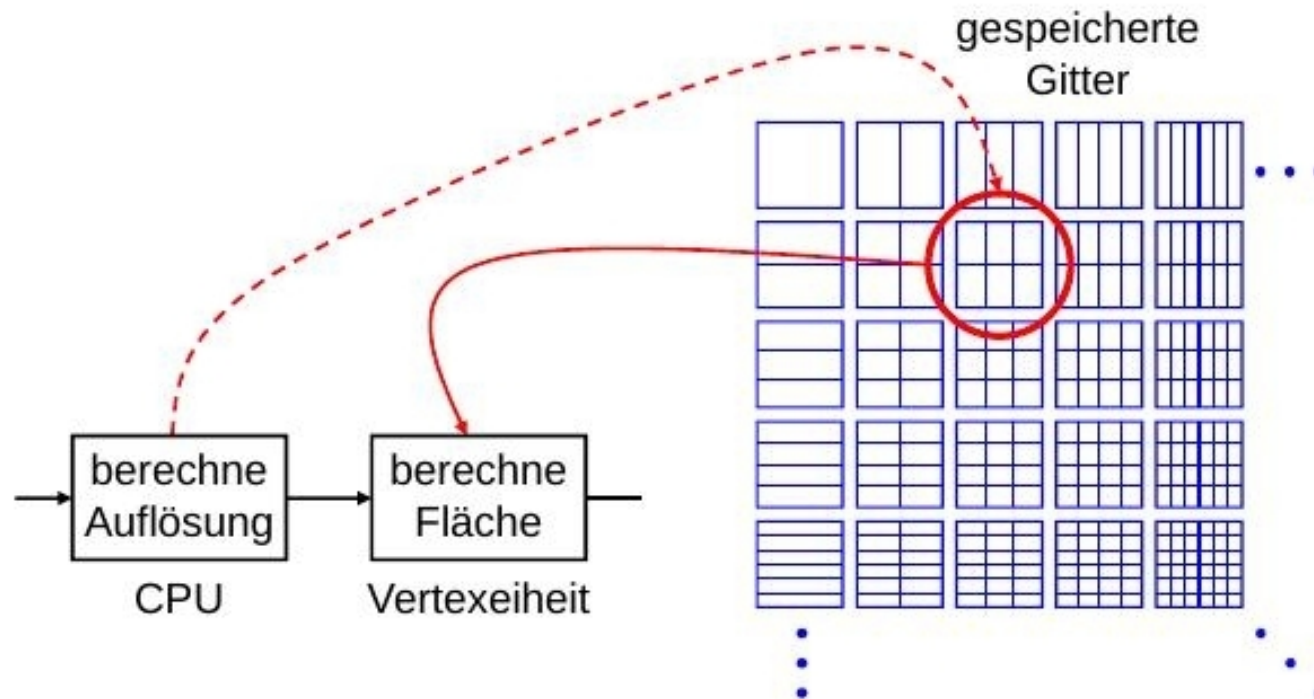
mit

$$D_{u^2} = \sup_{(a,b) \in [0,1]^2} \left\| \frac{\partial^2 q}{\partial u^2} \right\|_2 \quad D_{v^2} = \sup_{(a,b) \in [0,1]^2} \left\| \frac{\partial^2 q}{\partial v^2} \right\|_2 \quad D_{uv} = \sup_{(a,b) \in [0,1]^2} \left\| \frac{\partial^2 q}{\partial u \partial v} \right\|_2$$

Wähle nun die Schrittweiten  $\Delta u$  und  $\Delta v$  so dass

$$\delta_u, \delta_v \leq \frac{1}{2} \epsilon$$

Die Schrittweiten werden aber nicht beliebig gewählt, sondern sie werden anhand von vordefinierten regulären Gittern ausgewählt:



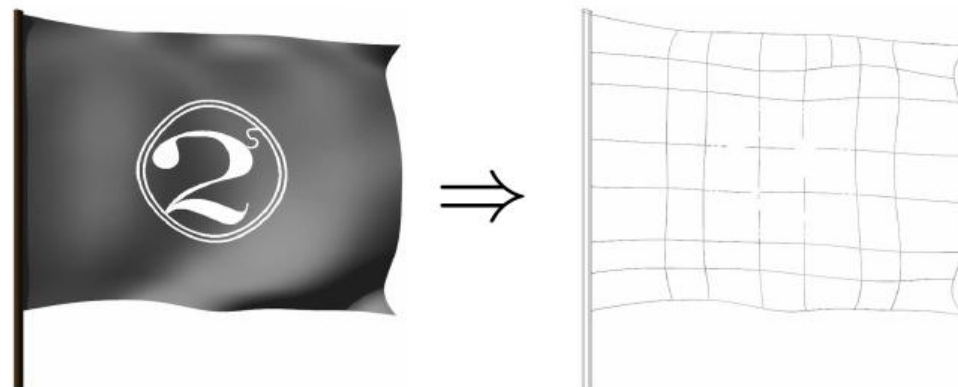
Die Schrittweitenberechnung und die Auswahl werden dabei auf der CPU berechnet.

Ebenso wie die Schrittweitenberechnung wird auch die Umwandlung von NURBS- in Bézierflächen auf der CPU berechnet:

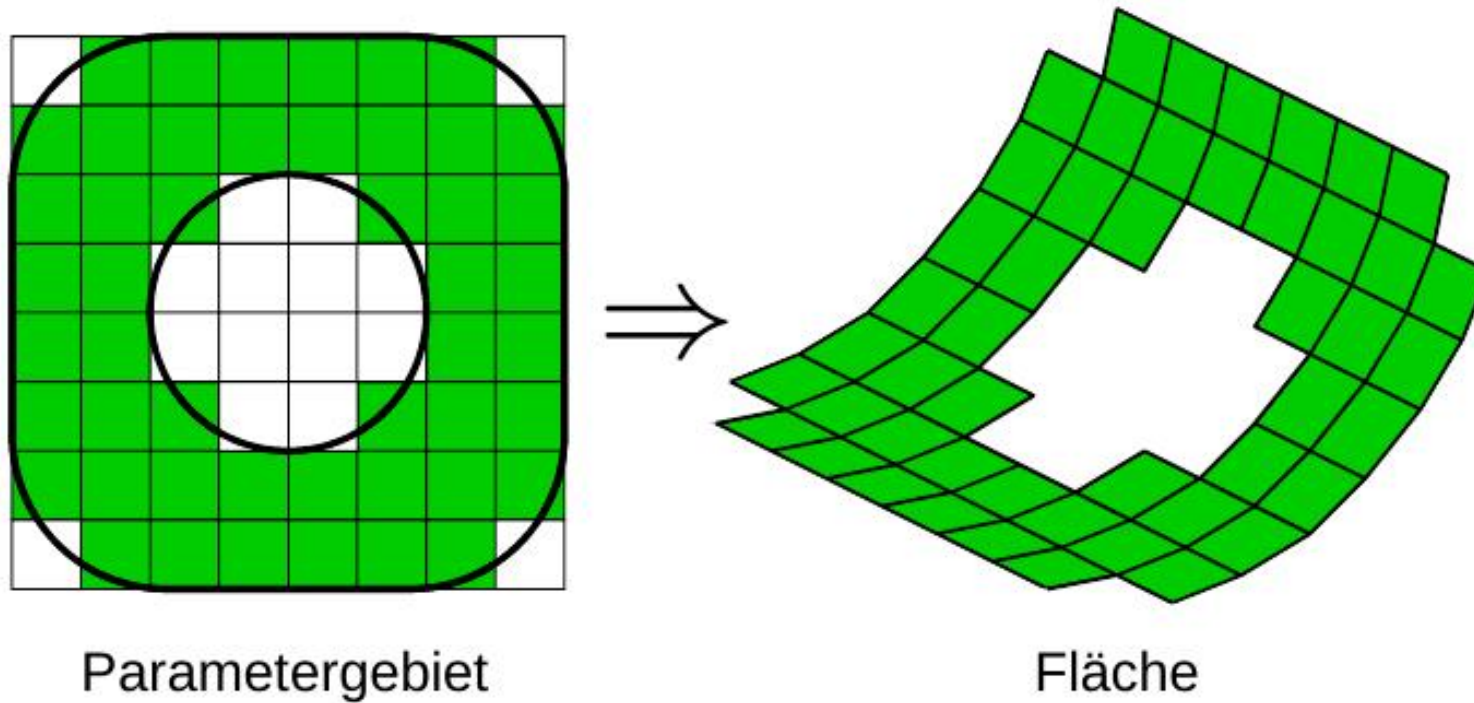
- ▶ Gitter enthalten  $(u, v) \in [0, 1]^2$  als Parameter
- ▶ Algorithmus speziell für bikubische Bézierflächen entwickelt
- ▶ daher müssen Flächen höheren Grades durch bikubische Flächen approximiert werden
- ▶ Auswertung von Flächenpunkt und ersten Ableitungen mit Algorithmus von de Casteljau

## Bikubische Approximation:

- ▶ Möglichst effizienter Algorithmus → keine Fallunterscheidungen
- ▶ Möglichst viele Grafikkarten unterstützen → maximal bikubische rationale Bézierflächen



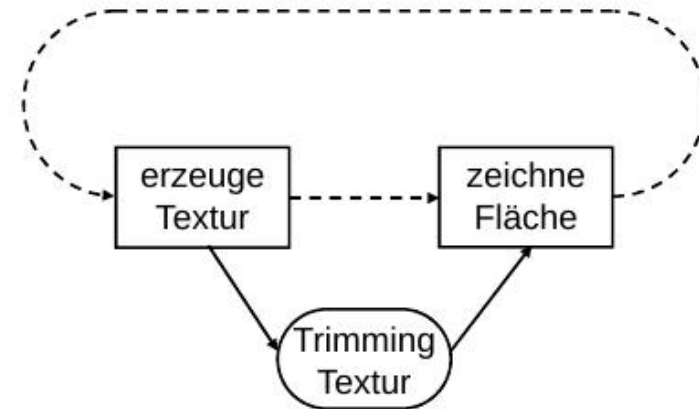
**Idee:** Erzeuge Textur, die Trimming im Parametergebiet enthält:





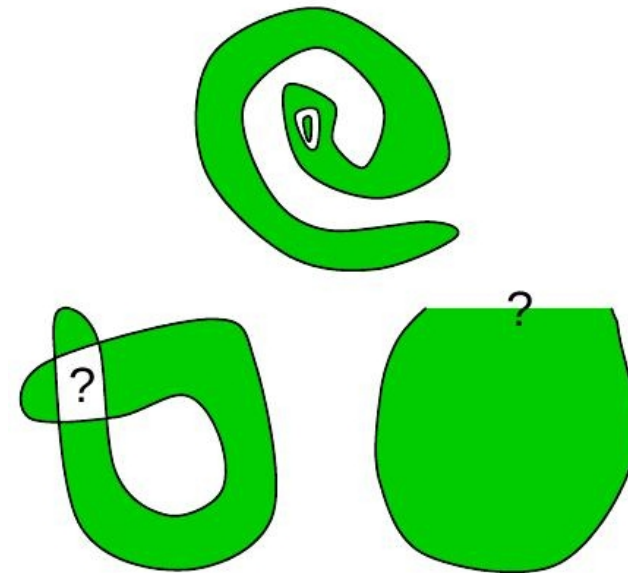
Die Trimming Textur kann

- ▶ angepasst an den Approximationsfehler auf dem Bildschirm ( $x$  Pixel)
- ▶ und während des Renderns erzeugt werden.



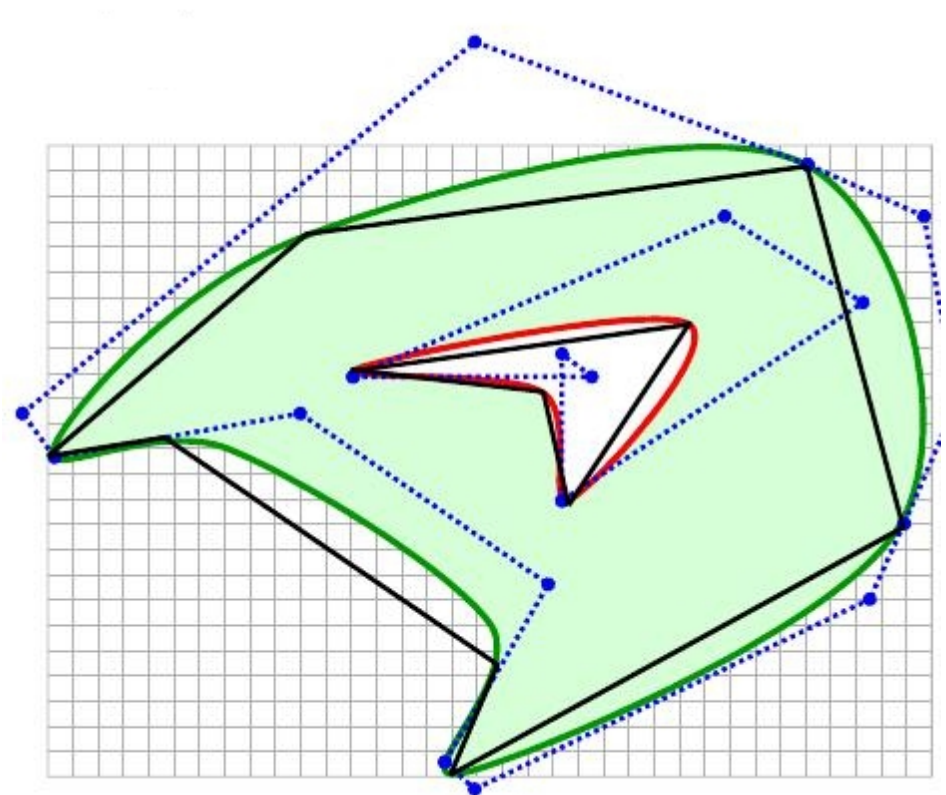
## Probleme:

- ▶ Verschachtlung
- ▶ Überschneidungen
- ▶ Offene Schleifen

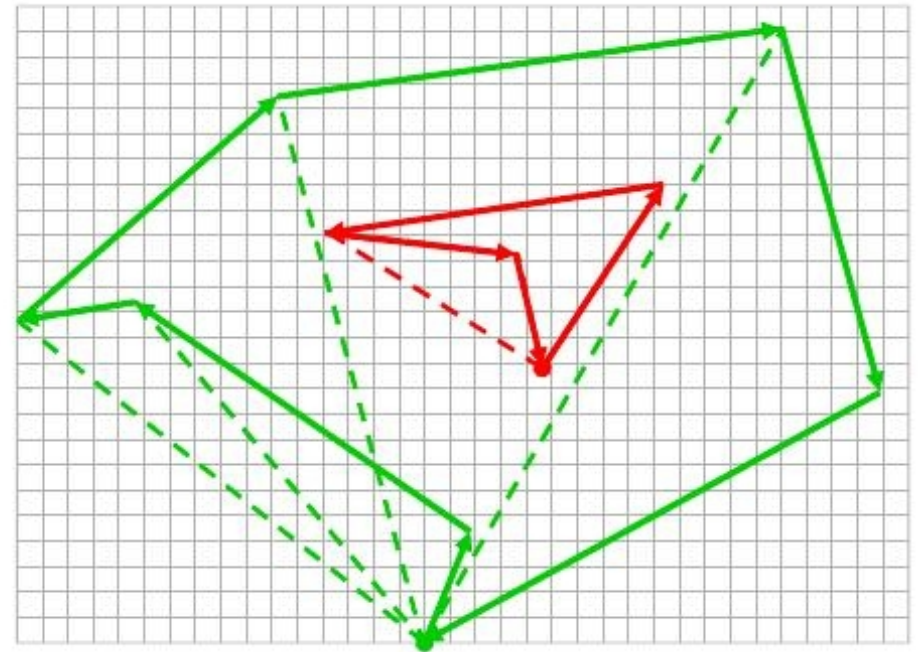




## 1. Approximiere Trimmingkurven

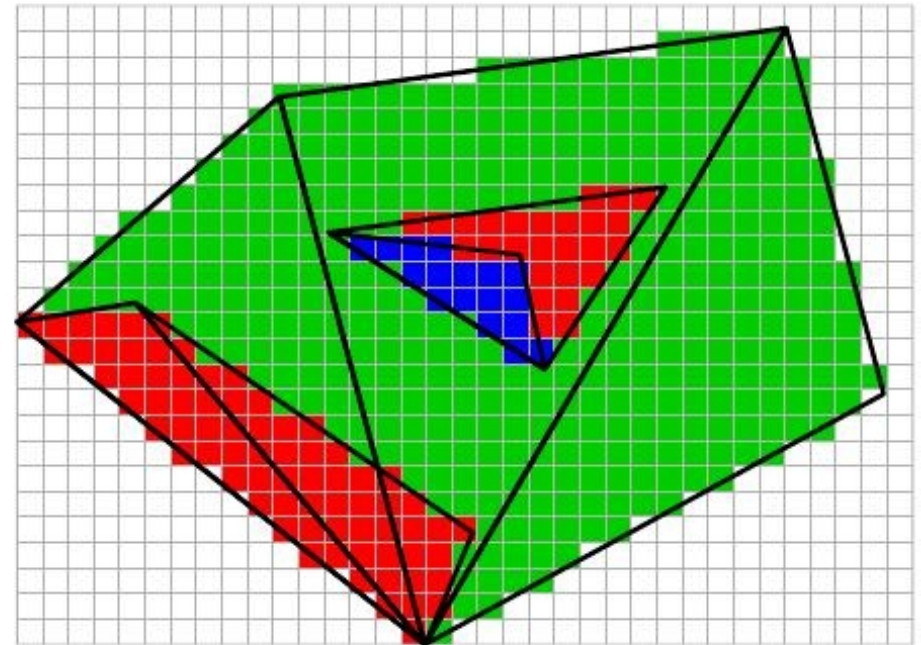


1. Approximiere Trimmingkurven
2. Erzeuge Dreiecksnetz für jede Schleife



1. Approximiere Trimmingkurven
2. Erzeuge Dreiecksnetz für jede Schleife
3. Anzahl der Überdeckungen bestimmt ob Dreieck innen / außen ist

1      2      3



1. Approximiere Trimmingkurven
2. Erzeuge Dreiecksnetz für jede Schleife
3. Anzahl der Überdeckungen bestimmt ob Dreieck innen / außen ist  
→ Umschalten statt Zählen

